

استخدام الزيوليت الخام في معالجة مياه الصرف الناتجة عن المشافي

* عبد الرحمن تنان ، فاطمة جعارة ** ، نوزت النباعي *

(الإيداع: 13 آب 2024 ، القبول: 3 آيلول 2024)

الملخص:

تم في هذه الدراسة معالجة مياه الصرف الناتجة عن مشفى حلب الجامعي باستخدام الزيوليت الخام السوري بطريقة الامتزاز، تم الحصول على عينة نموذجية من الزيوليت الخام السوري، تم طحن الزيوليت الخام وفرزه بحسب الحجم الحبيبي، جمعت عينات من مياه الصرف الناتجة من مشفى حلب الجامعي ثم حددت مواصفاتها الفيزيائية والكيميائية بتقنيات التحليل المرجعية.

تم دراسة معالجة مياه الصرف الملوثة بتقنية الامتزاز باستخدام الزيوليت الخام وبشروط معالجة مختلفة (الكمية، زمن التماس، الحجم الحبيبي)، وتبين أنه تزداد فعالية المعالجة بازدياد كمية الزيوليت المضافة، وأفضلها هي 2 غرام لكل لتر من المياه الملوثة، كما تبين أنه تزداد فعالية المعالجة بتناقص الحجم الحبيبي للمادة المازة المستخدمة وذلك نتيجة ازدياد السطح النوعي، حيث لوحظ أن حجم 100 ميكرون يعتبر الأفضل كما أنه تزداد فعالية المعالجة بازدياد زمن التماس (النفع) ويعتبر افضل زمن هو 120 دقيقة، وقد أثبتت النتائج بأن المياه المعالجة صالحة للري.

الكلمات المفتاحية: الزيوليت - مياه صرف المشافي - احتياج الأكسجين الكيميائي (COD).

* طالب دراسات عليا (دكتوراه)، قسم الهندسة البيئية، كلية الهندسة المدنية، جامعة حلب.

** قسم الهندسة البيئية، كلية الهندسة المدنية، جامعة حلب.

*** قسم العلوم الأساسية، كلية الهندسة المدنية، جامعة حلب.

The use of raw zeolite in treating hospital wastewater

* Fatimeh Jaara , ** Nawzt Nebghali, *** Abdalrhman Tattan

(Received: 13 August 2024 ,Accepted: 3 September 2024)

Abstract:

In this study, wastewater resulting from Aleppo University Hospital was treated using Syrian crude zeolite by adsorption method. A representative sample of Syrian crude zeolite was collected. The raw zeolite was ground and sorted according to granular size. Samples of wastewater resulting from Aleppo University Hospital were collected and then determined. Their physical and chemical specifications using reference analytical techniques. The treatment of polluted wastewater using adsorption technology using raw zeolite was studied under different treatment conditions (quantity, contact time, granular size). It was found that the effectiveness of the treatment increases with the amount of added zeolite, the best of which is 2 grams per litter of polluted water. It was also shown that the effectiveness of the treatment increases. By decreasing the granular size of the adsorbent material used, as a result of the increase in the specific surface, it was noted that a size of 100 microns is considered the best. The effectiveness of the treatment increases as the contact time (soaking) increases, and the best time is 120 minutes. The results have proven that the treated water is suitable for irrigation.

Keywords: Zeolite – hospital wastewater – chemical oxygen demand (COD).

* Dept of Environmental Engineering, Faculty of Civil Engineering , University of Aleppo.

** Dept of science basic, Faculty of Civil Engineering , University of Aleppo

*** PHD student , Dept of Environmental Engineering , Faculty of Civil Engineering,
University of Aleppo

1- مقدمة

تستهلك المستشفيات كميات كبيرة من المياه دون النظر في إمكانية معالجة هذه المياه وإعادة استخدامها لأغراض معينة للتقليل من الاعتماد على المياه الجوفية والتخفيف من الأضرار المؤثرة على البيئة، فما يحدث حاليا هو طرح مياه الصرف بشكل كامل إلى شبكة الصرف الصحي وهذا يشكل عبئاً كبيراً على على الصحة العامة والبيئة [1].

تعد مياه الصرف الناتجة من المستشفيات واحدة من أهم مصادر التلوث وذلك لما تحتويه هذه المياه من ملوثات عضوية ولا عضوية فضلاً عن احتوائها على مسببات مرضية مختلفة والعديد من المعادن الثقيلة. هناك تشابه بين مياه الصرف للمستشفيات ومياه الصرف الصحي المنزلي إلا أنها تتميز بخصوصية احتوائها على العديد من المركبات والاحياء الخطيرة والبكتيريا والفيروسات والديدان والمواد الكيماوية الخطيرة والصيدلانية فضلاً عن النظائر المشعة مع كميات كبيرة من المواد المعلقة. ان المستشفيات تطرح كميات كبيرة من مياه الصرف التي تحتوي على ملوثات مختلفة كماً ونوعاً من ساعة الى أخرى ومن فصل الى آخر، من هذا المبدأ جاءت الحاجة الملحة لمعالجة مياه الصرف الصادرة عن المستشفيات للحد من الاخطار التي قد يسببها طرح هذه الملوثات بدون معالجة [1].

درس العديد من الباحثين معالجة مياه الصرف التابعة للمستشفيات، ولعل أبرز الدراسات في هذا المجال هي دراسة بيريل حيث حدد مواصفات مياه الصرف الناتجة عن مخبر المشفى في غازي عنتاب إن النتيجة النهائية التي توصل إليها الباحث أن المياه الناتجة عن مخبر المشفى تحتوي على بعض العناصر الملوثة بتراكيز تفوق الحدود المسموحة للمعايير القياسية العالمية، لذا لا بد من معالجة هذه المياه.

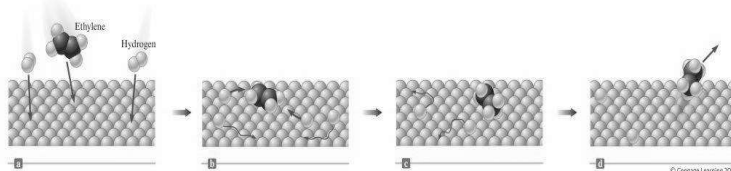
تحتوي المشافي على مصادر عديدة للتلوث ناتجة عن أنشطتها تمثل هذه الملوثات في الحمل العضوي العالي والمواد السامة والمركبات الكيميائية والنظائر المشعة والبكتيريا المرضية والفيروسات الناتجة عن الوحدات المختلفة في المستشفى ومنها وحدة المختبرات، والتي تحوي على أنواع عديدة من المختبرات منها (مخبر الكيماويات، مخبر الدمويات، مخبر الجراثيم، مخبر الهرمونات، مخبر PCR، مخبر الدراسات، مخبر المصليات، مخبر الشوارد، مخبر PT) [3].

لا يتم في مختبرات التحليل في المشافي العديد من الفحوصات الروتينية والتي يستخدم فيها مواد ومركبات كيميائية مختلفة من أهمها (السيانيد، الفينول، الزئبق، البروم، الفورم الدهيد، الكروم، والزنك) تلك المركبات تنتقل عبر الشبكة الى المجرى العام للمشفى وتؤثر على الخصائص النوعية فيه وتصرف كما هي بكل ما تحمله من مخاطر وقد لوحظ أن مياه صرف المختبرات تمثل حوالي 7-20% من مياه الصرف الكلية للمشفى [4].

تعتبر معالجة المياه بتقنية الامتراز من أهم طرائق معالجة المياه، والامتراز هو عملية تجمع المواد المنحلة أو الغازات على سطح جسم صلب أو سائل، فالمواد الصلبة المسامية أو المطحونة جيداً يمكن أن تتحجز الكثير من المادة الممتزة بسبب المساحة السطحية الكبيرة، وبينس الطريقة فإن مساحة سطح المادة الممتزة السائلة تكون أكبر إذا تم تقسيم السائل إلى قطرات صغيرة جداً، وفي بعض الحالات، ذرات المادة الممتزة تشتراك في الإلكترونات مع ذرات سطح المادة المازة، مما يشكل طبقة رقيقة من مركب كيميائي، ويعتبر الامتراز عملية طاردة للحرارة لأن الطاقة يتم إطلاقها عندما تلتتصق المادة الممتزة بالمادة المازة. يعتمد معدل عملية الامتراز بشكل كبير على مساحة السطح ودرجة الحرارة [5, 6].

تعمل درجة الحرارة المنخفضة على تعزيز الامتراز لأن الجسيمات ذات الطاقة الحرارية الأقل لديها طاقة حرية أقل ومن المرجح أن تلتتصق بالأسطح عن طريق تكوين الرابطة التساهمية أو الرابطة الهيدروجينية أو قوى أخرى بين الجزيئات. يستعان بعملية الامتراز لفصل مخالفات من سوائل أو غازات مختلفة ولتجفيف وتنقية الغازات والسوائل ولتنقية المياه أيضاً، والامتراز نوعين فعندما تكون الرابطة بين المادة الممتزة وبين المادة المازة ضعيفة فإن الامتراز يعرف بالإمتراز الفيزيائي، وعندما تتحدد الجزيئات الممتزة كيميائياً مع سطح المادة المازة فإنها تلتتصق به بشدة وتسمى هذه العملية بالإمتراز الكيميائي.

تتكون الجزيئات الممتزة في الإمتزاز الكيميائي طبقة واحدة، لكنها ربما تكون عدة طبقات في عملية الإمتزاز الفيزيائي يبين الشكل (1) عملية الإمتزاز. [5, 6].



الشكل رقم (1): عملية الإمتزاز

يسقاد من دراسة الإمتزاز من المحاليل في توصيف المادة المازة الصلبة، كما يفيد في تقدير المادة المازة وتحديد نوعيتها بسرعة، إن الإمتزاز من المحاليل سهل تجريبياً، ويعتمد على قياس تركيز المادة المنحلة. تستخدم طرائق قياسية في التوصيف كما تستخدم تقانات عديدة منها ما يعتمد على تحديد منحني امتزاز كامل وأخر يعتمد على منحني الإمتزاز في الأعمدة [7].

يستخدم نموذج لانغموبيير (Langmuir) وفريندلش (Freundlich) للاحظة منحنيات الإمتزاز ولمعرفة عوامل الإمتزاز، حيث تعتمد منحنيات لانغموبيير على افتراض أن الإمتزاز يتم على طبقة واحدة من السطح الذي يحوي على عدد محدود من المواقع الإمتزازية ذات طاقة متماثلة، وحسبت السعات الإمتزازية من العلاقة التالية (1) [8].

$$(1) \quad X_e = \frac{(C_0 - C_e)}{m} \times 1000$$

حيث:

C_e : التركيز التوازنى لمحلول الشاردة المدروسة بعد النقع (المعالجة) مقدراً بـ (mg/l).

C_0 : التركيز الابتدائى لمحلول الشاردة المدروسة قبل النقع (mg/l).

X_e : كمية المادة المنحلة الممتزة على واحدة الوزن من المادة المازة (mg/g).

1000: حجم المياه المعالجة.

ويعبر عن معادلة لانغموبيير بالعلاقة (2):

$$(2) \quad \frac{C_e}{X_e} = \frac{1}{X_m \times K_L} + \frac{1}{X_m} C_0$$

حيث:

C_e : التركيز التوازنى لمحلول الشاردة المدروسة بعد النقع (المعالجة) مقدراً بـ (mg/l).

X_e : كمية المادة المنحلة الممتزة على واحدة الوزن من المادة المازة (mg/g).

X_m : السعة الإمتزازية للطبقة الواحدة مقدراً بـ (mg/g).

K_L : ثابت لانغموبيير، يتعلق بطاقة الإمتزاز الحرية، وتحسب الثوابت (X_m , K_L) من ميل الخط المستقيم المرسوم لم C_e/X_e بدلالة C_e . [9].

يفترض نموذج فريندلش عدم تجانس الطاقة على سطح المادة المسامية وفيه تختلف طاقة الإمتزاز تبعاً لاختلاف حرارة الإمتزاز [7]، يمكن كتابة نموذج فريندلش العلاقة (3):

$$\ln X_e = \ln k_f + \frac{1}{n} \ln C_e \quad (3)$$

C_e : التركيز التوازني لمحلول الشاردة المدروسة بعد النقع (المعالجة) مقدراً بـ (mg/l).

X_e : كمية المادة المنحلة الممتدة على واحدة الوزن من المادة المازة (mg/g).

K_f : ثابت فريندلش يتعلق بالسعة الامتزازية للمادة المازة (mg/l).

$1/n$: ثابت يتعلق بشدة الامتزاز.

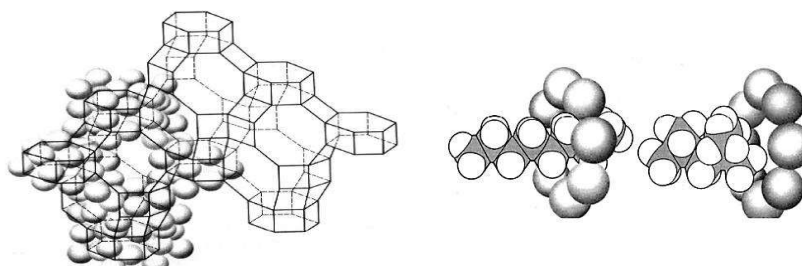
يمكن حساب بaramترات نموذج فريندلش ($k_f, 1/n$) من ميل الخط المستقيم المرسوم لـ $\ln X_e$ بدلالة $\ln C_e$ ينطبق نموذج فريندلش بشكل كبير على الحمل غير المتجانسة، خاصة المركبات العضوية ذات التفاعلات السريعة على الكربون الفعال والمناخلجزئية [9].

يعتبر الزيوليت بأنواعه المختلفة الطبيعي والمعدل والصناعي من أهم المواد المستخدمة في الامتزاز، حيث يشكل الزيوليت محوراً هاماً في مجال البحث العلمي والصناعة والزراعة نظراً لسهولة استخراجه من مكانه بتكليف زهيدة، بالإضافة لأهميته الكبيرة في عمليات الفصل والتقطية [10].

الزيوليت عبارة عن سيليكات الألミニوم ذات بناء مؤلف من أربع شوارد أكسجين O^2- محاطة بشوارد موجية (عادة Si^{4+} أو Al^{3+})، ويحتوي على مسامات دقيقة مماثلة لجزيئات الماء وشوارد قابلة للتتبادل ($K^+, Na^+, Ca^{++},$ وأخرى) لذلك يدعى بالمناخلجزئية. وإن الصيغة الكيميائية العامة للزيوليت هي كما يلي [11]:



والشيء المميز للفلزات الزيوليتية هو بنيتها البلورية، حيث تتصف وتترابط رباعيات الوجود المؤلفة لها بطريقة معينة لتشكل حلقات نجمية رباعية الشكل، تترابط هذه الحلقات النجمية لتشكل بني هيكيلية تحوي على فراغات كبيرة نسبياً تتصل مع بعضها لتشكل أنابيب وأقنية لتعطي بنية مسامية خاصة مميزة لهذه السيليكات الهيكيلية كما هو موضح بالشكل رقم (2).



شكل فاز الزيوليت Chabazite

المناخلجزئية للزيوليت

الشكل رقم (2): بنية الزيوليت

وعند التسخين تفقد الفلزات الزيوليتية الماء تدريجياً من خلال الأقنية محافظة على حجمها. والفلزات الزيوليتية التي فقدت الماء تغدو نشرة للحرارة عند غمرها فيه، ويتراافق هذا بحدوث فوران، ولذلك سميت الزيوليتات بهذا الاسم (أي الحجر الفوار، من اللغة اليونانية، زيو: يفور، ليتوس حجر) [11].

تتمتع الزيوليتات بفعالية كيميائية كبيرة وقابلية للتتبادل الشاردي والامتزاز وهذا يعطيها أهمية كبيرة لاستخدامها في تقطية مياه الشرب، وفي الصناعات الكيميائية العضوية، وفي زيادة فعالية الأسمدة الزراعية، كما يمكن أن تستخدم في حفظ رطوبة التربة، وفي صناعة الأعلاف [12].

2-الهدف من البحث

يهدف هذا البحث لدراسة مياه الصرف الناتجة عن المشافي ومدى فعالية معالجتها باستخدام الزيوليت الخام السوري بطريقة الامتزاز بتطبيق شروط معالجة مختلفة لاختيار الأفضل. وقد تم اختيار مشفى حلب الجامعي في هذا البحث نظراً لكونه واحداً من أهم المراكز الحيوية والاستراتيجية نظراً لما يقدمه من خدمات طبية مجانية وتعليمية لعامة المواطنين السوريين.

3-القسم العلمي**3-1-مواد وطرائق البحث**

تم الحصول على الزيوليت الخام من المؤسسة العامة للجيولوجيا والثروة المعdenية (عدرا-المكحولات) وكان على شكل حبيبات بقطر أعظمي 1mm، ثم طحت عينة الزيوليت باستخدام مطحنة بورسلانية مع كرات مختلفة الاحجام، ثم فرز الزيوليت المطحون إلى عدة حجوم حبيبية باستخدام مع مناخل قياسية بوجود هزار كهربائي. يوضح الجدول رقم (1) التركيب الكيميائي لأهم المكونات المتواجدة في الزيوليت الخام وفقاً لبيانات المؤسسة العامة للجيولوجيا والثروة المعdenية.

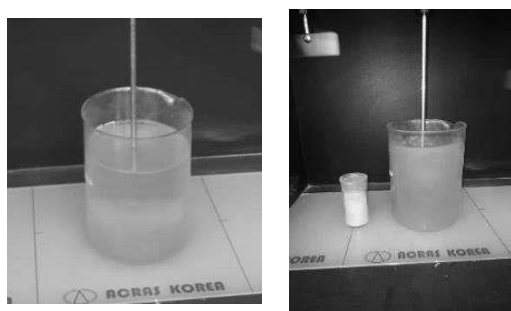
الجدول رقم (1): التركيب الكيميائي للزيوليت الخام المدروس

W%	المكون
17.85	L.O.I
39.83	SiO ₂
10.24	Al ₂ O ₃
11.11	Fe ₂ O ₃
5.77	MgO
8.34	CaO
3.31	Na ₂ O
1.11	K ₂ O
0.36	SO ₃
2.26	الوزن النوعي (g/cm ³)

تم اخذ عدة عينات من مياه الصرف الناتجة عن مشفى حلب الجامعي ومزجت لتشكيل عينة قياسية استخدمت لإجراء الدراسات اللاحقة، حيث تم إضافة الزيوليت لتلك العينات بكميات وحجم حبيبي وأزمنة معالجة مختلفة وفق الجدول رقم (2)، الشكل رقم (3).

الجدول رقم (2): الشروط المطبقة للمعالجة بالزيوليت الخام المدروس

زمن المعالجة min	حجم المياه الملوثة ml	الحجم الحبيبي للزيوليت μm	كمية الزيوليت المضافة gr	رمز العينة
30	1000	500	0.5	A
30	1000	500	1	B
30	1000	500	2	C
30	1000	500	3	D
30	1000	300	2	E
30	1000	100	2	F
60	1000	100	2	G
120	1000	100	2	H



الشكل رقم (3): المعالجة بالزيوليت

أجريت التحاليل الكيميائية لعينات المياه قبل وبعد المعالجة بالزيوليت ووضع النتائج في الجداول (3,4,5). تم دراسة نموذجي الامتزاز للانغمومير وفرينيلش على شاردة النحاس (لأنها أعطت أعلى مردود إزالة) وحسبنا الثوابت المطلوبة لكل معادلة كما هو مبين في الجداول (6) و(7) و(8) والشكليين (4) و(5).

3-2- النتائج والمناقشة

3-2-1- مواصفات الزيوليت المستخدم: يوضح الجدول رقم (1) أن عينة الزيوليت المدروسة تحتوي على نسب مرتفعة من ثنائي أكسيد السيليسيوم SiO_2 الموافقة للبنية السيلييسية للزيوليت بالإضافة إلى وجوده في المواد المرافق كالغضار والفلسيبار. ويتوارد أكسيد الألمنيوم Al_2O_3 الذي يشكل مع ثنائي أكسيد السيليسيوم SiO_2 البنية الفراغية لمختلف الفلزات الزيوليتية، وتحتوي العينة على أكسيد الحديد Fe_2O_3 الذي يمكن أن يتواجد بشكل غير مرتبط، ويلاحظ وجود أكسيد الصوديوم Na_2O والبوتاسيوم K_2O اللذان يمتلكان أهمية خاصة في عمليات التبادل الشاري.

3-2-2-تأثير كمية الزيوليت على كفاءة المعالجة

يلاحظ من الجدول رقم (3) أنه تزداد فعالية المعالجة بازدياد كمية الزيوليت المضافة وأفضل كمية هي 3 غرام من الزيوليت (ذو الحجم الحبيبي $500\mu\text{m}$) لكل لتر من الماء حيث انخفضت جميع الملوثات المدروسة للحدود المسموح بها للطرح في المجرور ، وانخفضت كذلك للحدود المسموح بها للاستخدام في الري عدا نسبة الأمونيا المرتفعة قليلاً. أي إن المعالجة بإضافة 2gr من الزيوليت تحقق كل المواصفات عدا الفوسفات والأمونيا تبقى مرتفعة بنسبة صغيرة لذلك تابعنا دراسة بقية المتغيرات باستخدام 2gr فقط من الزيوليت.

الجدول رقم (3): تأثير كمية الزيوليت المضافة على كفاءة المعالجة

D (3gr)	C (2gr)	B (1gr)	A (0.5gr)	قبل المعالجة	الواحدة	المستخدمة لأغراض الري مع/ل	المسموح بتقليها في المجرور	الرمز	المواصفات
7.5	7.4	7.3	7.1	7.1	-	6-9	6.5- 9.5	PH	الرقم الهيدروجيني
162	176	198	210	350	مع/ل	150	500	T.S.S	مجموع المواد العلفية
138	141	152	175	610	مع/ل	500	1000	SO ₄	الكبريتات
6	6	10	12	28	مع/ل	5	100	NH ₄	الأمونيا
19	23	35	35	145	مع/ل	20	20	PO ₄	الفوسفات
0.15	0.15	0.15	0.15	0.43	مع/ل	0.1	1	Cr	الكروم السادس
0.1	0.1	0.1	0.1	0.4	مع/ل	1	5	Cu	النحاس
150	172	198	225	580	مع/ل	30-150	800	BOD	الاحتياج الحيوي للأوكسجين
380	410	436	610	3600	مع/ل	75-300	1600	COD	الاحتياج الكيميائي للأوكسجين
780	788	794	830	4300	ميكر وسيزن/سم			EC	الناقلة الكهربائية
515	520	525	547	2633	مع/ل	2000	2000	T.D.S	الاملاح الكلية المنطقة
403	422	430	805	1800	مع/ل	500	600	Cl	الكلورايد
12	13.3	16.3	18.5	38	مع/ل	8	15	F	الفلورايد

3-2-3-تأثير الحجم الحبيبي للزيوليت على كفاءة المعالجة

تزداد فعالية المعالجة بتناقص الحجم الحبيبي للزيوليت المستخدم كما هو واضح من الجدول رقم (4)، وذلك نتيجةً لازدياد السطح النوعي، حيث نلاحظ أن الحجم $100\mu\text{m}$ كان هو الأفضل ويحقق المواصفة السورية المطلوبة للري أو الصرف في المجرور وذلك عدا نسبة الأمونيا التي بقيت مرتفعةً بنسبة ضئيلةً لذلك درسنا تأثير زيادة زمن المعالجة.

الجدول رقم (4): تأثير الحجم الحبيبي للزيوليت على كفاءة المعالجة

F (100 μm)	E (300 μm)	C (500 μm)	قبل المعالجة	الواحدة	المستخدمة لأغراض الري مع/ل	المسموح القائمة في المجرور	الرمز	المواصفات
7.4	7.4	7.4	7.1	-	6.9	6.5-9.5	PH	الرقم الهيدروجيني
112	145	176	350	مع/ل	150	500	T.S.S	مجموع المواد العالقة
121	133	141	610	مع/ل	500	1000	SO ₄	الكبريتات
6	6	6	28	مع/ل	5	100	NH ₄	الأمونيا
11	15	23	145	مع/ل	20	20	PO ₄	الفوسفات
0.11	0.11	0.15	0.43	مع/ل	0.1	1	Cr	الكروم السادس
0.1	0.1	0.1	0.4	مع/ل	1	5	Cu	النحاس
112	131	172	580	مع/ل	30-150	800	BOD	الاحتياج الحيوى للأوكسجين
277	312	410	3600	مع/ل	75-300	1600	COD	الاحتياج الكيميائى للأوكسجين
768	773	788	4300	ميكروسينتر/سم			EC	الناقلة الكهربائية
512	500	520	2633	مع/ل	2000	2000	T.D.S	الاملاح الكلية المنحلة
311	324	422	1800	مع/ل	500	600	Cl	الكلورايد
11	12	13.3	38	مع/ل	8	15	F	الفلورايد

3-2-4-تأثير زمن المعالجة بالزيوليت على كفاءة المعالجة

تزداد فعالية المعالجة بازدياد زمن المعالجة بالزيوليت كما يبينه الجدول رقم (5)، وإن أفضل زمن هو 120 دقيقة حيث انخفضت جميع الملوثات المدروسة للحدود المسموح بها وفق المواصفة القياسية السورية للري أو للطرح في المجرور العام.

الجدول رقم (5): تأثير زمن المعالجة بالزيوليت على كفاءة المعالجة

H (120min)	G (60min)	F (30min)	قبل المعالجة	الواحدة	المستخدمة لأغراض الري مع/ل	المسموح القائمة في المجرور	الرمز	المواصفات
7.6	7.6	7.4	7.1	-	6.9	6.5-9.5	PH	الرقم الهيدروجيني
86	98	112	350	مع/ل	150	500	T.S.S	مجموع المواد العالقة
102	111	121	610	مع/ل	500	1000	SO ₄	الكبريتات
5	6	6	28	مع/ل	5	100	NH ₄	الأمونيا
7	7	11	145	مع/ل	20	20	PO ₄	الفوسفات
0.11	0.11	0.11	0.43	مع/ل	0.1	1	Cr	الكروم السادس
0.1	0.1	0.1	0.4	مع/ل	1	5	Cu	النحاس
85	91	112	580	مع/ل	30-150	800	BOD	الاحتياج الحيوى للأوكسجين
240	252	277	3600	مع/ل	75-300	1600	COD	الاحتياج الكيميائى للأوكسجين
763	768	768	4300	ميكروسينتر/سم			EC	الناقلة الكهربائية
489	527	512	2633	مع/ل	2000	2000	T.D.S	الاملاح الكلية المنحلة
289	309	311	1800	مع/ل	500	600	Cl	الكلورايد
10.1	11	11	38	مع/ل	8	15	F	الفلورايد

3-2-5-دراسة نموذجي الامتزاز للانغموبيير وفريندلش على الزيوليت المستخدم

تبين من خلال الدراسة أن الامتزاز يتبع نموذج لانغموبيير وليس نموذج فريندلش، فقد كانت قيم معامل الارتباط للانغموبيير هي $R^2=0.9805$ ، بينما قيم معامل الارتباط لفريندلش بلغت $R^2=0.8604$ ، كما تم حساب ثابت الامتزاز للانغموبيير $K_L=2868.04(\text{L}/\text{mg})$ ، الذي ممكن أن يرتبط باختلاف المنطقة المناسبة، ومسامية المادة المازة مما يعني أن مساحة السطح الكبيرة، وحجم المسام سيؤديان إلى سعة امترازية عالية [13].

الجدول رقم (6): حرکية امتراز شاردة النحاس الثنائي في مياه الصرف كتابع

للزمن عند إضافة 2g من الزيوليت لـ 1000ml من المياه الملوثة ذي تركيز ابتدائي 0.4mg/l

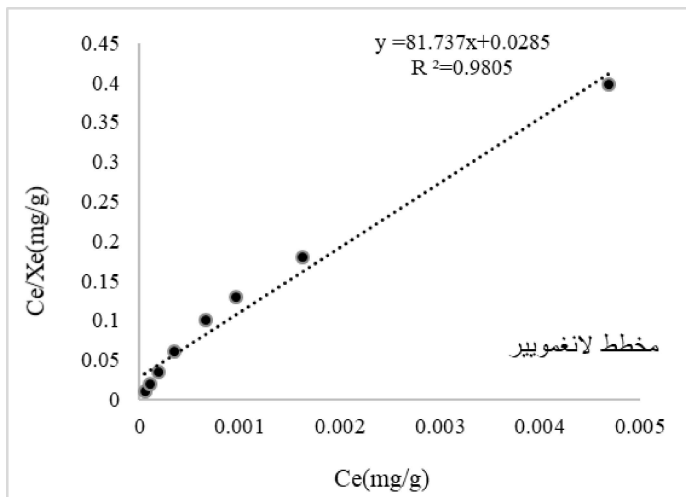
Time(min)	15	30	45	60	75	90	105	120
Xt=Cu ²⁺	85	110	135	150	170	182.5	190	195

الجدول رقم (7): ثوابت لانغمومير لامتراز النحاس الثنائي الموجود بمياه الصرف على الزيوليت

Sample	K _L (L/mg)	X _m (mg/g)	R ²
مياه الصرف	2868.04	0.01223	0.9805

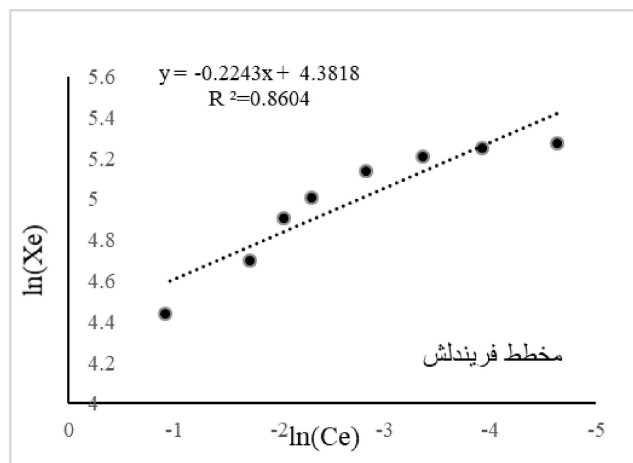
الجدول رقم (8): ثوابت فريندلش لامتراز النحاس الثنائي الموجود بمياه الصرف على الزيوليت

Sample	n (L/mg)	K _F (mg/g)	R ²
مياه الصرف	-4.4583	79.981	0.8604



الشكل رقم (4): دراسة نموذج الامتراز لانغمومير لشاردة (Cu²⁺) مياه الصرف كتابع
 للزمن عند إضافة 2g من الزيوليت لـ 1000ml من المياه الملوثة ذي تركيز ابتدائي 0.4mg/l

44



الشكل رقم (5): دراسة نموذج الامتزاز لفريندلش لشاردة (Cu^{2+}) مياه الصرف كتابع

للزمن عند إضافة 2g من الزيلوليت لـ 1000ml من المياه الملوثة ذي تركيز ابتدائي 0.4 mg/l

ومن خلال دراستنا لمعادلة فريندلش التي تعبّر عن الامتزاز على السطوح الغير المتجانسة نلاحظ أن نتائج بيانات امتزاز شاردة النحاس الثنائي لم تتطابق فيها لعدة أسباب منها كما ذكرنا قيمة معامل الارتباط رغم أنه قريب من المجال المقبول لكن هناك سبباً رئيسياً واضحاً لو أمعنا النظر في الجدول (8) حيث كانت قيمة الثابت n سالبة وهي من المفترض أن تتراوح ضمن مجال $1 < n < 0$ حتى يتم اعتماد هذا النموذج، وعندما تكون قريبة من الواحد يكون امتزاز مواثي بالنتيجة نلاحظ أن امتزاز شاردة النحاس الثنائي في مياه الصرف المخبرى على الزيلوليت تتطابق مع نموذج لأنغموبير على السطوح المتجانسة [15,14].

أخيراً إن البحث لا زال بحاجة إلى قياسات وتجارب على المعالجة من الناحية الجرثومية والبيولوجية وتحديد أي صنف من أنواع الزراعة التي تصلح المياه لاستخدامها بعد المعالجة وفق المعايير القياسية السورية والتي سيتم المتابعة بدراساتها، كما سيتم دراسة تشغيل الزيلوليت للاستخدام مرة ثانية ودراسة طرائق التخلص أو الاستفادة من الحمأة الناتجة عن المعالجة.

4- الاستنتاجات

- نجاح عملية إزالة الملوثات من مياه الصرف الناجمة عن مخبر مشفى حلب الجامعي باستخدام الزيلوليت الخام السوري كمادة مازة.
- اعتمدت المعالجة على كمية الزيلوليت والحجم الحببي والزمن اللازم للمعالجة حيث تم استنتاج الشروط المثلث للمعالجة وهي 2 غرام لكل لتر من الماء الملوث بحجم حببي 100 ميكرون وזמן 120 دقيقة.
- المياه الناتجة عن المعالجة هي مياه صالحة لعملية الرى ومطابقة للمواصفات الزراعية، وذلك وفق الجداول المبينة أعلاه، حيث توصلنا لقيم منخفضة جداً عن ماهي في الجداول، وإن دلّ هذا يدل على نجاح عملية المعالجة لدينا.
- إن المنحنيات الامتزازية لامتزاز شوارد النحاس -الموجودة في مياه الصرف- على الزيلوليت تتطابق مع نموذج لأنغموبير.

5- المراجع

- ناشر محمد نجيب غالب 2012 "أهمية معالجة مياه الصرف الصحي في المستشفيات اليمنية - مستشفى جامعة العلوم والتكنولوجيا بصنعاء دراسة حالة " مجلة العلوم والتكنولوجيا .

2. Beril Salman Akin,2016 Contaminant Properties of Hospital Clinical Laboratory Wastewater: APhysiochemical and Microbiological Assessment, , Journal of Environmental Protection, 7, 635–642.
3. فخرى إسماعيل زينة و أحمد محمود طارق 2010 تأثير كيماويات مطروفات المختبرات على الخصائص النوعية لمطروفات المستشفيات – المجلة العراقية لبحوث السوق وحماية المستهلك.
4. Emmanuel, E., Perrodin, Y., Keck, G., Blanchard, J. M., & Vermande, P. (2002, October). Effects of hospital wastewater on aquatic ecosystem. In Proceedings of the XXVIII Congreso Interamericano de Ingenieria Sanitaria y Ambiental. Cancun, México (pp. 27–31).
5. Anirudhan TS, Ramachandran M. Adsorptive removal of basic dyes from aqueous solutions by surfactant modified bentonite clay (organoclay): Kinetic and competitive adsorption isotherm. Process Safety and Environmental Protection. 2015, May;95:215–25.
6. Bharath G, Alhseinat E, Ponpandian N, Khan MA, Siddiqui MR, Ahmed F, et al. Development of adsorption and electrosorption techniques for removal of organic and inorganic pollutants from wastewater using novel magnetite/porous graphene-based nanocomposites. Separation and Purification Technology. 2017 Nov;188:206–18.
7. Su Y, Qian F, Qian Z. Enhancing adsorption capacity and structural stability of Li_{1.6}Mn_{1.6}O₄ adsorbents by anion/cation co-doping. RSC advances. 2022 Jan 1;12(4):2150–9.
8. SADEGHALVADB B; TORABZADEHKASHI M; AZADMEHR A.R.,2015- Acomparative Study of Cu(II) and Pb(II) Adsorption by Iranian Bentonite (Birjand area) in Aqueous Aolutions, Advances in Environmental Technology, No 2,pp 93–100.
9. AL-NEIMI K.I; AHMED G.A.,2019-Isothermic Adsorption and Applications of Kinetics Models, Thermodynamics Functions ,Probability Sticking for Benzoic Acid and Some Substituted by Using Anew Adsorbent Substance *Journal of Education and Science*, 2019, Volume 28, Issue 2, Pages 23–39.
10. KATTMA E.A.; 1999. The Clay Deposition in Syria and their Possibilities Industrialization. *Journal of geological Sciences*, No.(25),pp 39–52.
11. RASHWANI A.,2011-The Benefit of the Natural and Artificial Local Raw in Improving Manufacturing of Portland Cement and Studying its Properties, *Ph.D Thesis .Univ of Aleppo, Faculty of Science*.
12. IBRAHAIM S., 2010- Mineralogy. *Aleppo University Publications Faculty of Science*.
13. AL-NEIMI K.I; AHMED G.A.,2019-Isothermic Adsorption and Applications of Kinetics Models, Thermodynamics Functions ,Probability Sticking for Benzoic Acid and Some Substituted by Using Anew Adsorbent Substance *Journal of Education and Science*, 2019, Volume 28, Issue 2, Pages 23–39
14. AYAWEI N, EBELEGI A N, WANKASI D., 2017-Modelling and Interpretation of Adsorption Isotherms, Hindawi Journal of Chemistry, Volume 2017, Article ID 3039817, 11 pages
15. Romdhane F D, Satlaoui Y, Nasraoui R, Charef A , Azouzi R.2020-Adsorption, Modeling, Thermodynamic, and Kinetic Studies of Methyl Red Removal from Textile-Polluted Water Using Natural and Purified Organic Matter Rich Clays as Low-Cost Adsorbent, Hindawi Journal of Chemistry Volume 2020, Article ID 4376173, 17 pages.